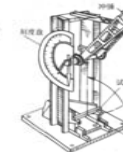


8 Yielding and breaking of Polymers (Mechanical Properties of Polymers)

聚合物的屈服和断裂 (高分子的力学性能)

Mechanical Properties

- **Tensile** 拉伸
拉伸强度, 拉伸(杨氏)模量, 断裂伸长率, 屈服强度, 100%延伸应力…
- **Impact** 冲击
悬臂梁, 简支梁, 落锤, 缺口, 无缺口…
- **Compress** 压缩
压缩强度, 体积模量…
- **Banding** 弯曲
弯曲强度, 弯曲模量
- **Shear** 剪切
剪切强度, 剪切模量
- ...



8.1 Stress-Strain Behavior of Polymers

高分子的应力-应变行为

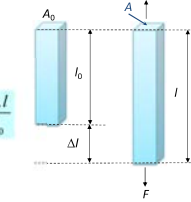
8.1.1 Term definition 基本术语定义



$$\text{Tensile stress } \sigma = \frac{F}{A_0}$$

$$\text{Tensile strain } \varepsilon = \frac{l - l_0}{l_0} = \frac{\Delta l}{l_0}$$

$$\text{True stress } \sigma' = \frac{F}{A}$$

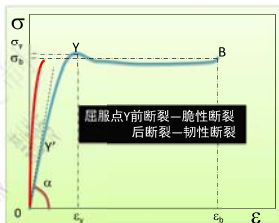


拉伸试验机

8.1.1 Term definition 基本术语定义

Typical stress-strain curve

Y: yield point	屈服点
σ_y : yield strength	屈服强度
ε_y : elongation at yield	屈服伸长率
B: break point	断裂点
σ_b : break strength	断裂强度
ε_b : elongation at break	断裂伸长率
Tensile strength	拉伸强度
$\sigma_t = \cap(\sigma_y, \sigma_b)$	
Young's modulus	杨氏模量
$E = \tan \alpha$	
Fracture energy	断裂能: OYB面积



8.1.1 Term definition 基本术语定义

Typical stress-strain curve

序号	1	2	3	4	5
类型	硬而脆	硬而强	强而韧	软而韧	软而弱
曲线					
模量	高	高	高	低	低
拉伸强度	中	高	高	中	低
断裂伸长率	小	中	大	很大	中
断裂能	小	中	大	大	小
实例	PS, PMMA 酚醛树脂	硬PVC, AS 硬PVC, AS	PC, ABS, HDPE	硫化橡胶、软 PVC	未硫化橡胶、 齐聚物

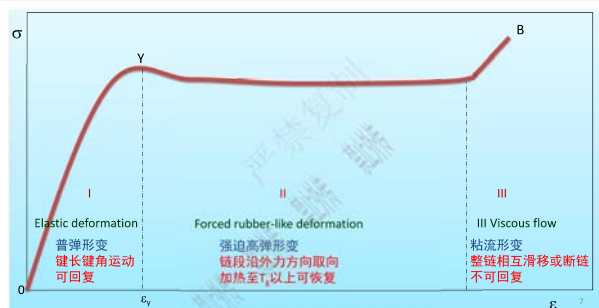
软~硬: 模量

强~弱: 拉伸强度

韧~脆: 断裂能

8.1.1 Term definition 基本术语定义

Molecular motion during tension 拉伸过程中高分子的运动



8.1.2 Considère drawing Considère作图法

How to find yield point in true stress-strain curve?

$$\text{真应力 } \sigma' = \frac{F}{A} \rightarrow \sigma' = \frac{F}{A} = \frac{F}{A_0 / (1 + \varepsilon)} = \sigma (1 + \varepsilon)$$

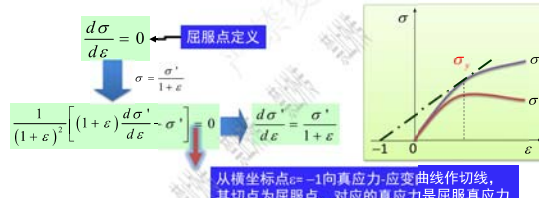
无体积变化 且均匀变形 $A = \frac{A_0 l_0}{l} = \frac{A_0}{1 + \varepsilon}$

适用条件? ? ? ?

$$\frac{d\sigma'}{d\varepsilon} = 0 \rightarrow \text{屈服点定义}$$

$$\sigma' = \frac{\sigma'}{1 + \varepsilon}$$

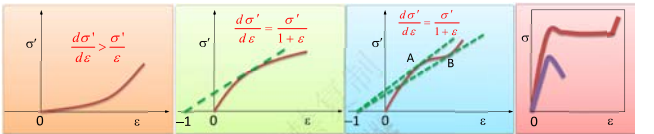
$$\frac{1}{(1 + \varepsilon)^2} \left[(1 + \varepsilon) \frac{d\sigma'}{d\varepsilon} - \sigma' \right] = 0 \rightarrow \frac{d\sigma'}{d\varepsilon} = \frac{\sigma'}{1 + \varepsilon}$$



从横坐标点 $\varepsilon = -1$ 向真应力-应变曲线作切线，其切点为屈服点，对应的真应力是屈服真应力。

8.1.2 Considère drawing Considère作图法

Three types of true stress-strain curve 三种真应力-应变曲线



从横坐标点不能向曲线上作切线
拉伸时，高分子随负荷增大而均匀伸长，不能成颈（橡胶）

从横坐标点可向曲线上作一条切线，切点即为屈服点
拉伸时，高分子随负荷增大而均匀伸长。到切点时成颈，随后细颈逐渐变细，负荷下降直至断裂

从横坐标点可向曲线上作二条切线。
在A处成颈，进一步拉伸时工程应力沿曲线下降至B点。之后，工程应力稳定在B点，细颈稳定扩展，直至试样全部变成细颈，最后，进一步拉伸则继续发展直至断裂

8.2 Yielding and cold drawing of Polymer

聚合物的屈服与冷拉



8.2.2 Principle of yielding 屈服原理

Shear band for rock



8.1.3 Factors influencing stress-strain curves of polymers 高分子应力~应变曲线的影响因素

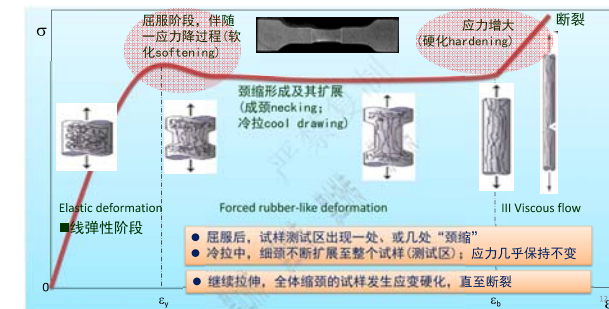
- 化学结构
 - 分子量及其分布
 - 支化、交联

- 物理结构
 - 结晶及取向
 - 晶区大小与形状
 - 形态

- 试验条件—温度、速率、流体静压力等

10

8.2.1 General stress-strain behavior for polymers 高分子应力-应变行为的一般特点



8.2.2 Principle of yielding 屈服原理

高分子为什么会屈服？屈服后为什么会产生细颈？细颈为什么会展开？

在屈服点，韧性高分子试样上常出现与拉伸方向约45°角倾斜的剪切滑移变形带(Shear band)，且逐渐生成对称的细颈



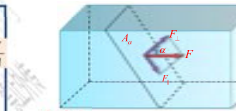
$$A_\alpha = \frac{A_0}{\cos \alpha}$$

$$F_\perp = F \sin \alpha$$

$$F_\parallel = F \cos \alpha$$

$$\sigma_{\perp} = \frac{F_\perp}{A_\alpha} = \frac{F}{A_0} \cos^2 \alpha = \sigma_0 \cos^2 \alpha$$

$$\sigma_{\parallel} = \frac{F_\parallel}{A_\alpha} = \frac{F}{A_0} \sin \alpha \cos \alpha = \frac{1}{2} \sigma_0 \sin 2\alpha$$



8.2.2 Principle of yielding 屈服原理

- 法向(拉)应力与抗拉极限相关，取决于主链强度(键能)
✓ 材料在法向应力作用下的破坏，往往伴随主链的断裂

- 切向应力与抗剪切极限相关，取决于分子间内聚力
✓ 材料在切向应力作用下的屈服，往往发生分子链的相对滑移

高分子 (23°C)	抗拉极限 $\sigma_{t.c.}/\text{MPa}$	抗剪极限 $\sigma_{k.c.}/\text{MPa}$
PS	40	48
SAN	56	73
PMMA	74	49
PVC	67	39
PC	87	40
PES	80	56
PEEK	120	62

不同的高分子具有不同的抗拉、抗剪能力
● 材料的最大抗拉伸能力，为临界抗拉伸强度 $\sigma_{t.c.}$
● 最大抗剪切能力，为临界抗剪切强度 $\sigma_{k.c.}$

脆、韧判据

- 脆性： $\sigma_{t.c.} < \sigma_{k.c.}$ (抗拉<抗剪极限)，首先达到抗拉极限
- 韧性： $\sigma_{t.c.} > \sigma_{k.c.}$ (抗拉>抗剪极限)，首先达到抗剪极限



8.2.2 Principle of yielding 屈服原理

脆性试样(抗拉极限<抗剪极限)

- ✓ (45°、135°斜截面上)最大剪切应力(**半拉伸应力**)达到剪切强度前, 横截面(垂直于拉伸方向)上法向(拉)应力(**拉伸应力**)已达材料的拉伸强度, 试样来不及屈服就断裂

韧性材料(抗剪极限<抗拉极限)

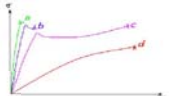
- ✓ (45°、135°斜截面上的最大剪切应力(**半拉伸应力**)先达到剪切强度, 使材料屈服, 出现剪切带
- ✓ 进一步拉伸, 剪切带中分子链取向, 强度提高, 变形暂时停止。其边缘则进一步发生剪切变形
- ✓ 试样逐渐生成对称的细颈(直至细颈破坏, 或扩展至整个试样)

17

8.2.3 Cold drawing 冷拉

glassy amorphous polymers 玻璃态非晶高分子

- $T << T_g$ 脆性断裂
- $T < T_g$ 出现屈服, 形变稍大
- $T < T_g$ 韧性, 形变大, 发生冷拉(有些高分子出现)
- $T > T_g$ 高弹态, 形变大, 无屈服点



➤ 具有屈服点的断裂, 为韧性断裂

- 屈服前除去外力, 形变立即回复; 形变由键长键角变化引起, 较小
- 屈服后除去外力, 形变不再回复; 但将温度升至 T_g 附近, 链段运动解冻, 形变可恢复
该形变属高弹形变。因在较大外力强迫下产生, 称强迫高弹形变

- 温度愈低, 产生强迫高弹形变所需应力就愈大
- 温度足够低时, 无论多大的外力都无法产生强迫高弹形变, 只发生脆性断裂。此时温度称脆化温度 T_b , 是高分子使用的最低温度

19

8.2.2 Principle of yielding 屈服原理

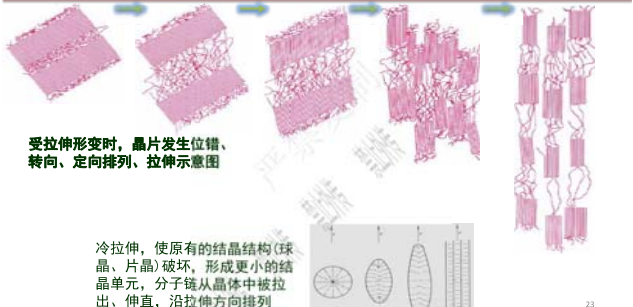
glassy amorphous polymers 玻璃态非晶高分子

- 出现“细颈”的位置**: 横截面小的地方
- 应变软化**: 塑性不稳定性容易发展, 应力集中。
- 出现“细颈”的原因**:
 - 自由体积增加**
 - 松弛时间变短**:
 - 无外力: $\tau = \tau_0 e^{\frac{\Delta E}{RT}}$
 - 有外力: $\tau = \tau_0 e^{\frac{\Delta E - \alpha\sigma}{RT}}$

松弛时间(relaxation time)是指物体受力变形, 外力解除后材料恢复正常状态所需的时间。

8.2.3 Cold drawing 冷拉

Semicrystalline polymers 结晶高分子

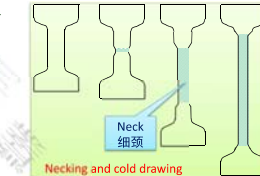


23

8.2.3 Cold drawing 冷拉

- **脆性高分子**: 断裂前试样不发生明显变化, 断面与拉伸方向垂直, 且很光洁

- **韧性高分子**: 屈服后产生细颈(neck), 之后细颈逐渐扩展, 应变增加而应力不变(称冷拉, cold drawing), 直至细颈扩展到整个试样, 应力才重新增加直至断裂



Necking and cold drawing

- 冷拉是强迫高弹形变
 - ✓ 对于非晶聚合物, 主要是链段取向
 - ✓ 对于结晶聚合物, 主要是片晶的取向

- 是否发生强迫高弹形变(冷拉), 关键有两点:

- 屈服后, 应呈现软化效应

- 应变增大后, 应呈现硬化效应

软、硬兼具, 才能实现冷拉

- 环境温度、拉伸速率、分子量, 均明显影响冷拉

- ✓ 温度过低或拉伸速率过高, 分子松弛不充分, 造成应力集中, 材料过早破坏

- ✓ 高或低, 分子链可能发生滑移而流动, 发展大变形

- ✓ 分子量较低, 不能够充分拉伸, 取向, 屈服后不久就发生破坏

18

8.2.3 Cold drawing 冷拉

glassy amorphous polymers 玻璃态非晶高分子

强迫高弹形变态

- 在大应力作用下, 有些玻璃态高分子能产生百分之几百的大形变(高弹形变)
- 产生原因: **外力使链段运动松弛时间降低**

$$\tau = \tau_0 \exp \left\{ \frac{\Delta E - \beta \sigma}{RT} \right\}$$

ΔE: 活化能
 σ: 外力
 β: 活化体积
 r: 松弛时间

σ越大, r越小
r与外力作用时间相当时, 就可能产生强迫高弹变形



20

8.2.3 Cold drawing 冷拉

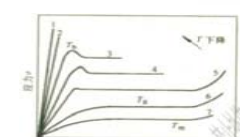
Semicrystalline polymers 结晶高分子

从远低于 T_g , 直到 T_m 附近, 结晶高分子均可发生冷拉伸, 也属强迫高弹形变

曲线可分为三个阶段

- 均匀拉伸至 Y
- 屈服、成颈、颈扩展(应力几乎恒定)
- 成颈结束后均匀拉伸, 应力硬化至断裂

缩颈区分子链取向, 模量提高, 使缩颈进一步扩大

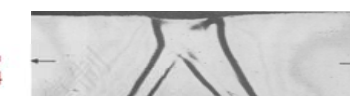


22

8.2.4 Shear band and Craze 剪切带和银纹

Shear band 剪切带

- 单向拉伸至屈服点时, 韧性高分子中出现的、与拉伸方向成约45°角倾斜的剪切带



- 剪切带的产生与发展可吸收大量能量

- 剪切带发生取向硬化, 阻止了剪切带内部形变的进一步发展

- 剪切带厚约1μm
- 剪切带内部, 分子链沿外力方向高度取向
- 剪切带内部, 无空隙, 形变过程无明显的体积变化

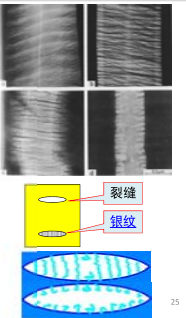


24

8.2.4 Shear band and Craze 剪切带和银纹

Craze 银纹

- 应力作用下，高分子材料中薄弱环节因应力集中而产生的局部塑性形变和取向，在垂直于应力方向上出现微细的空化条状形变区
- 银纹折光指数 < 本体折光指数，银纹-本体界面对光线产生全反射，故看



8.2.4 Shear band and Craze 剪切带和银纹

无论发生银纹或剪切带，均消耗大量能量，提高韧性
银纹和剪切带，是韧性高分子形变的两种主要形式

剪切带和银纹，是高分子的两种主要屈服形式

	剪切带	银纹
作用力	剪切应力	垂直应力\拉应力
方向性	与应力成45°(135°)	与应力方向垂直
体积变化	体积不变	微空穴化，体积略增大
形变	形变大，>10%	形变小，<10%
曲线特征	有明显的屈服点	无明显的屈服点
结果	冷拉、细颈	裂缝

一般情况下，材料既有银纹屈服，又有剪切屈服

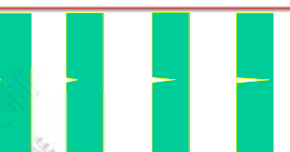
- 高分子采取什么形式的屈服，主要取决于其临界缠结分子量 M_c
- (PS等)脆性高分子： M_c (19k)较大，缠结点密度低，缠结链可伸展度大，易产生银纹
- (PC等)韧性高分子： M_c (2.5k)较小，缠结点密度高，缠结链伸展较困难，易发生应变硬化
银纹化形变不会充分发展，应力增大到剪切屈服应力时，产生剪切形变

脆性断裂和韧性断裂

断裂为物体在外力作用下产生新表面的过程
即裂缝扩展的过程，伴随能量的消耗。

脆性是断裂前发生弹性形变吸收能量的能力。

韧性是断裂前发生塑性形变吸收能量的能力。

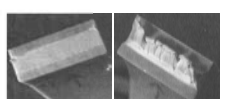


脆性断裂：不显示明显的推退形变，断裂面光滑，断裂能较小。

韧性断裂：形变大，断裂面粗糙，断裂能较大。

脆性断裂由所加应力的张应力分量引起。

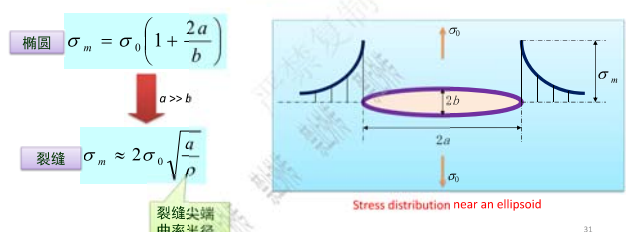
韧性断裂由所加应力的切应力分量引起。



8.3.1 Griffith fracture theory Griffith断裂理论

Stress concentration 应力集中

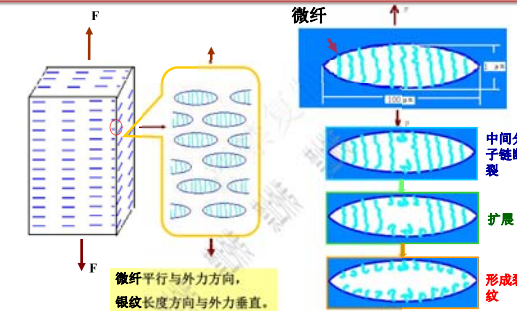
无限大平板上刻一椭圆孔
在垂直于椭圆孔长轴方向施以均匀张应力，则椭圆孔附近存在应力集中，两端的应力最大



31

8.2.4 Shear band and Craze 剪切带和银纹

银纹的结构



26

8.3 Fracture Theory of Polymers

高分子的断裂理论

8.3.1 Griffith fracture theory Griffith断裂理论

- 1921年，英国科学家A.A.Griffith为解释玻璃纤维、陶瓷等脆性材料的断裂强度而提出
- 目前广泛应用于金属和非金属材料的断裂现象

Griffith认为，脆性固体在受到外力作用时

- 由局部不均匀性，垂直于主应力方向上会产生裂缝。裂缝两端产生应力集中
- 局部应力 > 材料内聚力，导致裂缝增长，进而使材料断裂

采用能量分析法得到表征脆性材料实际强度与结构参数关系的方程。基本观点如下：

1) 实际材料中已经存在裂纹；

2) 裂纹扩展，系统释放弹性能（降低），

生成新表面，即表面自由能增加。

释放弹性能 > 生成新表面自由能，裂纹扩展；

释放弹性能 = 生成新表面自由能，临界状态。

28

8.3.1 Griffith fracture theory Griffith断裂理论

Griffith equation Griffith方程

- Griffith线弹性断裂理论，从能量平衡观点分析断裂过程，认为

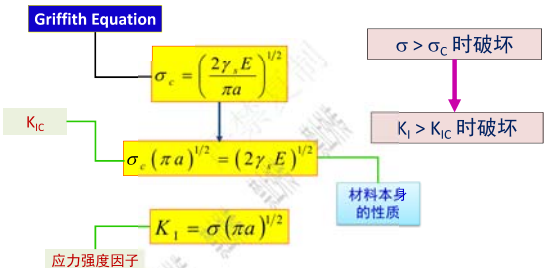
- 断裂产生新表面，所需要表面能由材料弹性储能的减少来补偿
- 大量弹性储能集中于裂纹附近。材料在裂纹处先行断裂



30

8.3.1 Griffith fracture theory Griffith断裂理论

Stress intensity factor 应力强度因子



33

8.3.2 Molecular theory 断裂的分子理论

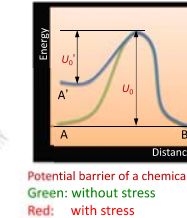
认为断裂是松弛过程

宏观断裂，是化学键断裂的热活化过程

原子热运动的无规则涨落能量 > 束缚原子的位垒时，化学键离解，发生断裂。该过程与时间有关

在恒应力作用下，材料从完好状态到断裂的时间，称为承载寿命

外力降低了活化位垒，致使寿命降低，材料易断裂



34

8.3.2 Molecular theory 断裂的分子理论

Activation energy of fracture 断裂活化能

拉伸应力作用下，材料寿命与应力的关系为



35

8.4.1 Theoretical strength 理论强度

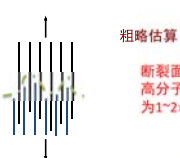
- 从分子角度看，高分子之所以有抵抗外力破坏的能力，主要靠分子内的化学键、分子间的范德华力（和氢键）
- 不考虑其他因素，可从微观角度计算出高分子的理论强度
- 为简化问题，把聚合物断裂的微观过程归纳为3种
 - 化学键破坏
 - 分子间滑脱
 - 范德华力或氢键破坏

37

8.4.1 Theoretical strength 理论强度

Chain slippage 分子间滑脱

- 高分子链平行于受力方向排列，使断裂截面上所有高分子链间作用力（包括范德华力和氢键）同时破坏



断裂面上高分子链的数目与前者相同 $N = 5 \times 10^{18} \text{ 根}/\text{m}^2$
高分子的摩尔内聚能比共价键键能大5~10倍，故理论强度约为 $1 \sim 2 \times 10^4 \text{ MPa}$

$$\sigma \approx 100 \sim 200 \text{ GPa}$$

39

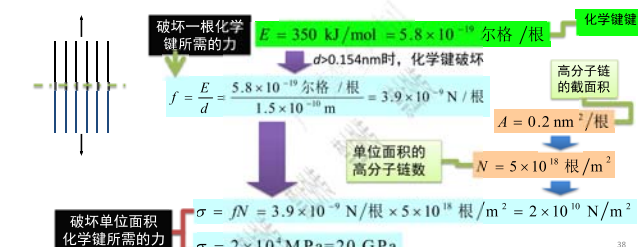
8.4 Tensile Strength of Polymers 高分子的拉伸强度

8.4.1 Theoretical strength 理论强度

Chain scission 断链

断裂截面上所有高分子链的化学键同时破坏

C-C键能 $335 \sim 378 \text{ kJ/mol}$ ，每键能 $5 \sim 6 \times 10^{-19} \text{ J}$ 。该能量可看作克服成键的原子引力

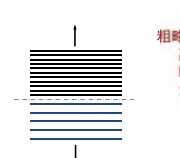


38

8.4.1 Theoretical strength 理论强度

Destroy of Van der Waals bond 范德华键破坏

- 高分子链垂直于受力方向排列，使断裂截面两侧高分子链间的分子间作用力（包括范德华力和氢键）同时破坏



高分子的截面积为 0.2 nm^2 ，纵剖面积为 $100 \text{ nm} \times 0.5 \text{ nm} = 50 \text{ nm}^2$
断裂截面上的链数是前者的 $0.2/50$ ，故理论强度约 $1 \sim 2 \times 10^4 / 250 = 400 \sim 800 \text{ MPa}$

$$\sigma \approx 0.4 \sim 0.8 \text{ GPa}$$

40

8.4.2 Tensile strength of practical polymers 实际高分子的拉伸强度

高分子的实际强度为10~100MPa, << 理论强度400~20000MPa

Tensile Properties of Polymers			
Polymer	Tensile Strength MPa	Break Strain %	Young's Modulus MPa
LDPE	22~39	60~150	840~950
PS	35~63	1~3	2800~3500
PMMA	49~77	2~10	~3200
PP	34~42	200~700	1200~1400
PVC-U	35~63	20~40	2500~4200
Nylon-66	~83	~60	3200~3300
PET	~80	~200	~2900
POM	62~68	60~75	~2800
PC	~67	60~100	2200~2400
PPO	86~90	30~80	2600~2800
PTFE	14~25	250~350	400

41

8.4.3 Factors influencing tensile strength 影响高分子拉伸强度的因素

- 内因
 - 链结构
 - 聚集态结构
 - 分子间作用力
 - ...

- 外因
 - 温度
 - 应变速率
 - ...

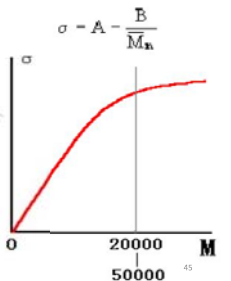
43

8.4.3 Factors influencing tensile strength 影响高分子拉伸强度的因素

Molecular weight 分子量

分子链的链端对强度无贡献
分子量越高，端链所占比例越少，强度越高

极性聚合物(PA)
分子量应达20k或以上
非极性聚合物(PE)
分子量应达50k或以上



45

8.4.3 Factors influencing tensile strength 影响高分子拉伸强度的因素

Orientation 取向



范德华键破坏

拉伸强度 ↓ 模量 ↓

47

8.4.2 Tensile strength of practical polymers 实际高分子的拉伸强度

高分子的实际强度为10~100MPa, << 理论强度400~20000MPa

主要原因

- ✓ 材料内部存在各种缺陷，造成应力集中，使局部区域的应力 >> 平均应力。局部应力达到材料的理论强度，首先发生破坏，继而扩展到材料整体
 - 玻璃态高分子中，存在大量尺寸100nm的孔穴，有应力集中效应
 - 高分子合成、加工过程中，难免引入许多杂质和缺陷，有应力集中效应
- ✓ 破坏总是先发生在某些薄弱环节，不可能是那么多的化学键或分子间作用力同时破坏
- ✓ 高分子聚集态结构不可能像理论计算时那么规整



42

8.4.3 Factors influencing tensile strength 影响高分子拉伸强度的因素

Chain Structure 链结构



44

8.4.3 Factors influencing tensile strength 影响高分子拉伸强度的因素

Crystallization 结晶

结晶形态

伸直链晶体

串晶

球晶

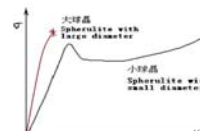
结晶度

球晶尺寸

拉伸强度 ↑

随结晶度增大，屈服应力、拉伸强度、弹性模量均提高，断裂伸长率、韧性下降

均匀小球晶(类似交联点)使强度、伸长率、模量和韧性提高



结晶使分子间排列紧密——分子间作用力 ↑, E ↑

8.4.3 Factors influencing tensile strength 影响高分子拉伸强度的因素

Defects 缺陷

几何不连续

孔、空洞、缺口、沟槽、裂纹等

材质不连续

杂质的质点(催化剂、灰尘、填料)

载荷不连续

温度分布不均匀产生热应力

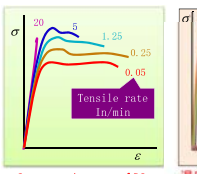
材料受力时，缺陷附近的局部范围造成应力集中，严重降低拉伸强度

48

8.4.3 Factors influencing tensile strength 影响高分子拉伸强度的因素

Deformation rate and temperature 应变速率与温度

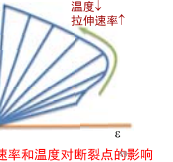
- 链段运动是松弛过程，外力的作用使松弛时间下降
 - 若链段松弛时间 \sim 外力作用速率，可发生屈服，呈现韧性断裂
 - 若链段松弛跟不上外力作用速率，不发生屈服，呈脆性断裂



Stress-strain curve of PS

温度对应力-应变曲线的影响

$$\tau = \tau_0 \exp\left(\frac{\Delta E - \alpha \sigma}{RT}\right)$$



- 降低温度，与提高外力作用速率，有同样的效果
 - 温度升高，材料变软、变韧
 - 温度下降，材料变硬、变脆

8.4.3 Factors influencing tensile strength 影响高分子拉伸强度的因素

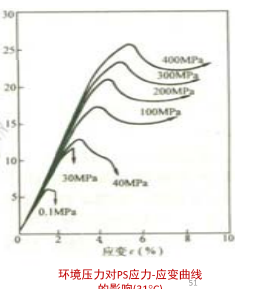
Pressure 压力

许多非晶聚合物，如PS、PMMA等，脆-韧转变与环境压力有关

● 压力诱导脆-韧转变

- PS在低环境压力(常压)下呈脆性断裂点，强度与断裂伸长率都很低
- 随环境压力升高，PS强度、伸长率变大，出现屈服

● 压力造成高分子自由体积降低



环境压力对PS应力-应变曲线的影响(31°C)

8.4.4 Reinforcing of Polymers 高分子的增强

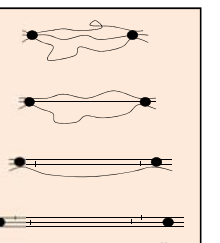
Particulate reinforcing 粒子增强

□ 橡胶补强

炭黑或白炭黑起交联点的作用

橡胶	拉伸强度, MPa	
	未增强	增强
非结晶性	硅橡胶*	0.34
	丁苯橡胶	1.96
	丁腈橡胶	1.96
结晶性	天然橡胶	19.0
	氯丁橡胶	14.7
	丁基橡胶	17.6

* 白炭黑



8.4.4 Reinforcing of Polymers 高分子的增强

Fiber reinforcing 纤维增强

几种结构材料的力学性能

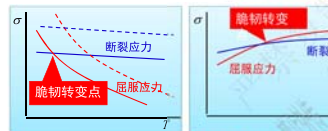
材料	密度	拉伸强度 MPa	弹性模量 GPa	比强度 MPa	比模量 GPa
钢	7.8	1030	210	130	27
铝合金	2.8	470	75	170	26
钛合金	4.5	960	114	210	25
玻璃纤维/不饱和聚酯	2	1060	40	530	20
高强度碳纤维/环氧树脂	1.5	1500	140	1030	97
高模量碳纤维/环氧树脂	1.6	1070	240	670	150
芳纶纤维/环氧树脂	1.4	1400	80	1000	57
硼纤维/环氧树脂	2.1	1380	210	660	100
硼纤维/铝	2.7	1000	200	380	57

8.4.3 Factors influencing tensile strength 影响高分子拉伸强度的因素

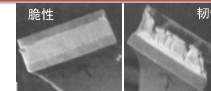
Brittle-ductile Transformation 脆韧转变

□ 材料从脆性断裂向韧性断裂的转变

- 随应变速率增加，脆韧转变移向高温



屈服应力、断裂应力与温度和应变速率的关系



脆性
韧性

σ_b<σ_y: 脆性
σ_b<3σ_y: 无缺口，韧性
有缺口，脆性
σ_b>3σ_y: 韧性

8.4.4 Reinforcing of Polymers 高分子的增强

高分子材料的强度、模量 << 金属和陶瓷

□ 作为结构材料使用时，需增強。最常用的方法，是加入增强材料

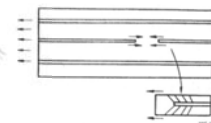
- (零维材料) 粉体 (炭黑、白炭黑；纳米粒子)
- (一维材料) 连续纤维
- (一维材料) 短纤维 (含晶须)
- (二维材料) 片状填料 (黏土、滑石)
- ...

8.4.4 Reinforcing of Polymers 高分子的增强

Fiber reinforcing 纤维增强

□ 聚合物基复合材料 由两种或者以上材料复合所制得的材料

- 高分子基体为连续相，易发生粘弹变形和塑性流动，起粘结增强体、传递应力、增韧作用
- 纤维强度高，为分散相，起增强作用，承担材料使用中的各种载荷



□ 复合材料的极限强度

$$\sigma_{cu} = \sigma_{fu} V_f + \sigma_{m(e_f^*)} (1 - V_f)$$

纤维拉伸强度
纤维体积分数
纤维断裂应变时基体的应力



8.4.4 Reinforcing of Polymers 高分子的增强

Short fiber reinforcing 短纤维增强

□ 临界纤维长度

$$L_c = D \frac{\sigma_{f2}}{2\sigma_{s,p}}$$

纤维拉伸强度
纤维直径
基体剪切强度

- $L < L_c$ 时，无增强作用

- $L > L_c$ 时，复合材料的极限强度

$$\sigma_{cu} = \sigma_{fu} V_f \left(1 - \frac{L_c}{2L}\right) + \sigma_{m(e_f^*)} (1 - V_f)$$

纤维强度极限
纤维体积分数
纤维长度
纤维断裂应变时基体的应力

8.5 Toughness of Polymers

高分子的韧性

57

8.5.2 Factor influencing toughness 影响高分子韧性的因素

- 内因
 - 链结构
 - 聚集态结构
 - 分子间作用力
 - ...

- 外因
 - 温度
 - 应变速率
 - ...

59

8.5.2 Factor influencing toughness 影响高分子韧性的因素

Crystallization 结晶



- 结晶度40~60%，PE、PP等高结晶度材拉伸时发生屈服，断裂伸长率高，韧性好
- 结晶度进一步增大，材料变硬变脆，抗冲击韧性下降
- 原因：结晶使分子间相互作用增强，链段运动能力减弱。受冲击时，材料形变能力降低

8.5.2 Factor influencing toughness 影响高分子韧性的因素

Defects 缺陷

- 受力时，裂缝、孔隙、缺口、杂质等缺陷附近的局部范围产生应力集中，严重降低拉伸和冲击强度
- 大量的同类小缺陷可同时诱发大量空穴或银纹，吸收冲击能，反而有利于提高冲击强度
(你能举例吗？)

63

8.5.1 Impact strength 冲击强度

表征材料韧性的一种强度指标

常用冲击试验方法：有

- 简支梁(Charpy)冲击(有/无缺口两种试样): 试样受冲击折断时，单位截面积所吸收的能量
- 悬臂梁(Izod)冲击(有/无缺口两种试样): 单位缺口宽度所吸收的能量
- 落重式冲击试验
- 高速拉伸试验

57

Charpy test

Izod test

□ 常用的方法

- ✓ 弹性体增韧
- ✓ 刚性有机粒子增韧
- ✓ 超细无机粒子增韧
- ✓ ...

65

8.5.3 Toughening of polymers 高分子的增韧

Rubber toughening 橡胶增韧

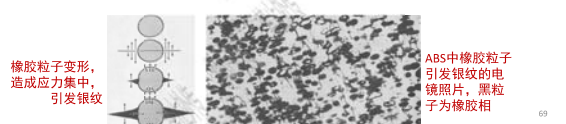
PS/EPDM (85/n) binary blends						
n (wt)	Impact Strength (KJ/m ²)	Tensile Strength (MPa)	Elongation at Break (%)	Tensile Modulus (MPa)	Bending Strength (MPa)	Bending Modulus (MPa)
0	1.29	42.0	5.8	8.50	44.3	455.6
5	1.36	31.0	7.6	6.01	39.6	388.5
10	1.53	26.8	10.9	4.94	34.5	307.7
15	2.14	21.4	9.4	4.75	30.1	250.1
20	2.54	20.5	17.0	3.64	27.9	224.3
25	1.84	20.3	10.6	3.87	25.5	199.8

PS/EPDM/SBS (85/n/10) ternary blends						
n (wt)	Impact Strength (KJ/m ²)	Tensile Strength (MPa)	Elongation at Break (%)	Tensile Modulus (MPa)	Bending Strength (MPa)	Bending Modulus (MPa)
0	2.03	37.1	6.5	8.69	27.5	262.9
5	3.07	31.5	7.5	7.78	35.9	257.3
10	6.23	27.6	6.5	6.84	33.6	249.8
15	11.2	24.8	6.9	6.06	30.6	230.4
20	22.5	21.2	10.6	7.95	25.7	217.5
25	26.3	18.4	38.9	4.44	24.0	206.5

8.5.3 Toughening of polymers 高分子的增韧

Mechanism of rubber toughening 橡胶增韧机理

- 观点一：橡胶粒子本身吸收能量，橡胶横跨于裂纹两端，阻止裂纹扩展
形变过程中橡胶粒子吸收的能量很少，约占总吸收能量的10%，大部分能量是被基体连续相吸收的
- 观点二：形变时橡胶粒子收缩，诱发使塑料基体T_g下降
橡胶收缩所引起的T_g下降仅10°C左右，不足以引起脆性塑料在室温下发生屈服
- 观点三：多重银纹机理
 - 根据Griffith理论，断裂能是否进行，取决于弹性储能、断裂所产生的表面能的相对大小
 - 若只有少数银纹，应力集中使银纹很快发展为裂纹，并迅速扩展，较低的力就使材料破坏
 - 橡胶相起应力集中体的作用，受冲击时诱发大量银纹（微裂纹），吸收大量能量，从而起增韧作用
 - 大量银纹存在时，应力场相互干扰，使银纹端部应力减小，且银纹端部发展到橡胶粒子时也被终止



69

8.5.3 Toughening of polymers 高分子的增韧

Fiber toughening 纤维增韧

纤维，可提高热固性树脂及脆性高分子基体韧性

- 纤维可承担缺口附近大部分负荷，使应力分散到更大面积上
- 纤维脱黏、拔出，可吸收冲击能，防止微裂纹发展成裂缝

脆性基体中纤维对裂纹尖区的影响
W_d-纤维脱黏能, W_s-纤维滑动能,
W_p-纤维拔出能, W_m-基体塑性变形能脆性基体中纤维对裂纹尖区的影响
W_d-纤维脱黏能, W_s-纤维滑动能,
W_p-纤维拔出能, W_m-基体塑性变形能

71

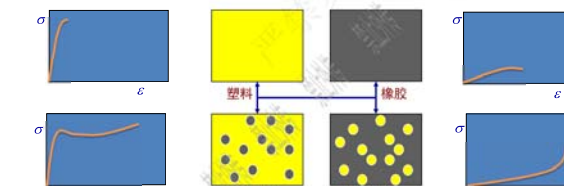
Rubber toughening 橡胶增韧

与橡胶类嵌段共聚、接枝共聚，或物理共混，可大幅度改善脆性塑料的韧性
丁二烯与苯乙烯共聚，得HIPS；CPE与PVC共混，得硬PVC韧性体，均使基体抗冲强度提高几倍至几十倍

达到良好增韧效果的条件

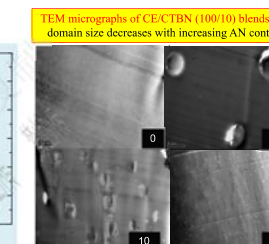
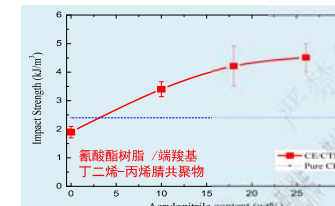
- 橡胶相以分散相存在
- 橡胶相与塑料相有良好的界面粘接力
- 橡胶相T_g远<<使用温度

增韧效果取决于分散相大小、界面粘接力，即两者相容性



8.5.3 Toughening of polymers 高分子的增韧

Rubber toughening 橡胶增韧

Impact strength of pure CE and CE/CTBN blends
Toughening effect increases with increasing AN content

68

8.5.3 Toughening of polymers 高分子的增韧

Mechanism of rubber toughening 橡胶增韧机理

● 观点三：多重银纹机理

- 剪切屈服机理
 - 橡胶分散相在塑料相中建立了静水张应力，使塑料相自由体积增大，T_g降低(?)，产生剪切滑移变形
 - 橡胶分散为应力集中体，促使周围基体发生屈服

■ 银纹-剪切带协同机理

- 引发大量银纹(应力发白)、剪切屈服带，吸收变形能
- 剪切带可诱发和终止银纹，两者可产生协同效应



高抗冲PS，橡胶粒子引发PS产生银纹

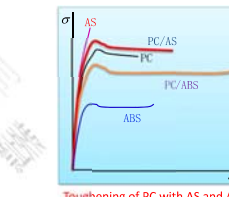
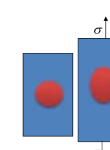
70

8.5.3 Toughening of polymers 高分子的增韧

ROF toughening 刚性有机粒子增韧

■ ROF具有既增强又增韧的效果

- ROF增韧的前提
 - ✓ 基体本身是韧性的
 - ✓ 界面粘接力强



Toughening of PC with AS and ABS

- 变形时，若两相粘接力强，而基体又不产生银纹，则给ROF颗粒很大的静压力，使颗粒随之变形
- 不论颗粒本身是脆性的还是韧性的，在静压力下表现得韧性
- ROF刚性很大，变形时吸收大量能量，从而提高材料的断裂能

72

8.5.3 Toughening of polymers 高分子的增韧

Toughing by inorganic particles? 无机粒子增韧?

- 在PS等脆性材料中, 添加 CaCO_3 之类的粉状填料, 往往使材料韧性下降
填料粒子相当于缺陷, 还有应力集中作用, 均加速材料的破坏
- 在某些塑料中添加少量经表面处理的微细无机粒子, 有增韧作用, 如PVC+ CaCO_3

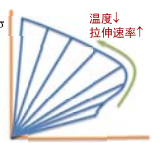
刚性粒子增韧的条件是: 基体必须具有一定韧性

73

非晶高分子的力学行为

- 基本概念: 屈服、缩颈、冷拉、变硬化
杨氏模量、拉伸强度、断裂能
银纹、剪切带(区别? 刚性玻璃态高分子吸收能力的两种主要模式)
脆韧转变

温度的影响(脆-韧转变)
 $T < T_g$ 脆性断裂, 形变小
 $T < T_g$ 出现屈服点, 形变稍大
 $T > T_g$ 有些高聚物韧性断裂, 形变大
 $T > T_g$ 不出现屈服点, 形变大



拉伸速率的影响(脆-韧转变)
拉伸速率↑, 相当于温度↑, 断裂强度↑, 断裂伸长率↑

受迫高弹(韧性)形变, $\sigma_0 > \sigma_c$
在大应力作用下, 有些玻璃态($T_g < T < T_c$)高分子能产生大形变(高弹形变)
产生原因: 应力使链段运动松弛时间 τ_s , 促进链段在作用力方向上的运动

75

拉伸强度

化学键破坏
分子间滑脱(解缠结)
次价力破坏(范德华力、氢键解离)

分子结构的影响
增加分子链间作用力、引入极性基团和形成氢键的基团、引入刚性链结构, 拉伸强度↑

结晶、取向和交联
结晶: 分子间排列紧密, 分子间作用力↑, 拉伸强度↑
取向: 分子链协同作用↑, 取向方向拉伸强度↑, 横向方向拉伸强度↓(范德华破坏)
适度交联, 分子间作用力↑, 拉伸强度↑; 过度交联, 变脆

共聚和共混 加和律, 正偏差、负偏差

增塑 分子间作用↓, 拉伸强度↓
填料 惰性填料(CaCO_3 等): 降低成本, 拉伸强度↓
活性填料: 拉伸强度↑

拉伸温度 温度↑, 拉伸强度↓
拉伸速度 速度↑, 屈服强度↓, 拉伸强度↓

77

Define the following terms

- Tensile strength
- Impact strength
- Craze
- Craze yielding
- Shear yielding
- Cold draw

79

8.5.3 Toughening of polymers 高分子的增韧

Toughing by Nano-filler 纳米粒子增韧



Project	Unit	PVC-U	Nano-PVC
Tensile strength	MPa	43.3	44.6
Young's modulus	GPa	4.95	5.36
Izod impact strength	J/m	73.5	111.4

74

结晶高分子的力学行为

低于 T_g 到 T_m , 出现一个或几个细颈(缩颈), 逐渐发展至整个试样, 拉伸过程中应变基本不变(冷拉)
依次经历弹性变形、屈服、发展大形变以及应变硬化等阶段(分子运动单元?)

冷拉可能包含有结晶的破坏、取向和再结晶等过程
球晶尺寸大、结晶度高, 强度高、延伸率低, 韧性差

76

韧性

分子间的作用力增加, 阻碍链段运动, 强迫高弹形变困难, 韧性差

变化: 韧性提高

结晶性: 高弹态下, 结晶使冲击强度↑; 结晶度↑、球晶尺寸↑, 冲击强度↑
玻璃态下, 结晶使冲击强度↓

加载速度: 若链段松弛时间与加载速率相适应, 材料断裂前发生屈服, 韧性提高

填料: 纤维状填料, 冲击强度↑
粉状填料, 一般使冲击强度↓
温度: 热塑性塑料, 在 T_g 附近, 温度↑, 冲击强度↑
热固性塑料, 温度影响不明显
增塑剂: 冲击强度↑, 但拉伸强度↓

高分子的增韧

- 分散的橡胶相起应力集中作用, 诱发大量的银纹(微裂纹), 吸收大量能量
- 应力场相互干扰, 降低银纹端部的应力集中

78